DAFTAR PUSTAKA

Adam, A. R., Saidah, H., & Hanifah, L. (2019). Analisis Perbandingan Penggunaaan Metode Aritmatika, Poligon Thiessen dan Isohyet Dalam Perhitungan Curah Hujan Rerata Daerah (Studi Lokasi DAS Jangkok). *Artikel Ilmiah, Fakultas Teknik, Univrsitas Mataram*, 1–12.

Agus, F., & Subiksa, I. M. (2008). Lahan Gambut: Potensi untuk Pertanian dan Aspek Lingkungan. *Balai Penelitian Tanah, Badan Penelitian dan Pengembangan Pertanian.* Bogor. Indonesia. http://www.icraf.cgiar.org/sea

Boelter, DH (1969). Sifat fisik gambut yang berhubungan dengan tingkat dekomposisi. Jurnal Masyarakat Ilmu Tanah Amerika, 33(4), 606-609.

Direktorat Jenderal Planologi Kehutanan dan Tata Lingkungan (PKTL). (2022). *Data Dan Informasi Ditjen Planlogi Kehuanan Dan Data Lingkungan*.

Edi, H., Barus, B., & Baskoro, D. (2019). Pemetaan Subsiden di Kesatuan Hidrologi Gambut Sungai Jangkang – Sungai Liong Pulau Bengkalis: *Jurnal Ilmu Tanah dan Lingkungan*, *19*, 13. https://doi.org/10.29244/jitl.19.1.13-18

Fitriansyah, F., Widuri, E. S., & Ulmi, E. I. (2020). Analisa Kebutuhan Air Irigasi Untuk Tanaman Padi Dan Palawija Pada Daerah Irigasi Rawa (DIR) Danda Besar Kabupaten Barito Kuala. *Media Ilmiah Teknik Sipil*, *8*(2), 79–87. https://doi.org/10.33084/mits.v8i2.1405

Gaol, R. Y. L. (2019). file:///C:/Users/USER/Downloads/418-902-1-PB-Analisis Data Curah Hujan yang Hilang.pdffile:///C:/Users/USER/Downloads/418-902-1-PB-Analisis Data Curah Hujan yang Hilang.pdf. *Repositori Universitas HKBP Nommensen*, 35. https://repository.uhn.ac.id/bitstream/handle/123456789/3338/Ramal Yohannes Lumban Gaol.pdf?isAllowed=y&sequence=1

Harahap, I. Y., & Witjaksana Darmosarkoro. (1999). Pendugaan Kebutuhan Air untuk Pertumbuhan Kelapa Sawit di Lapang dan Aplikasinya dalam Pengembagan Sistem Irigasi. *Jpks*, *7*(2), 87–104.

Hasibuan, S., Tntawi, A. R., & Saleh, K. (2022). Efisiensi Penggunaan Faktor-Faktor Produksi Pada Usahatani Kelapa Sawit Rakyat (Studi Kasus: Di Desa Hutalombang, Kecamatan Lubuk Barumun, Kabupaten Padang Lawas). *Jurnal Agriuma*, *4*(2), 107–115. https://doi.org/10.31289/agri.v4i2.9834

Hirano, T., Ohkubo, S., Itoh, M., Tsuzuki, H., Sakabe, A., Takahashi, H., Kusin, K., & Osaki, M. (2024). Large variation in carbon dioxide emissions from tropical peat swamp forests due to disturbances. *Communications Earth and Environment*, *5*(1), 1–9. https://doi.org/10.1038/s43247-024-01387-7

Kartika, D., Nomeritae, N., & Kamiana, I. M. (2023). Evaluasi Data Curah Hujan Satelit TRMM Dan GPM Terhadap Data Curah Hujan Observasi Di Kalimantan Tengah. *Media Ilmiah Teknik Sipil*, *11*(1), 28–39. https://doi.org/10.33084/mits.v11i1.4033

Khusrizal. (2020). Lahan Budidaya Tembakau Deli, Tebu, Kelapa Sawit

Karakteristik dan Kesesuaian. *Sefa Bumi Persada*, 1–124.

Lufi, S., Ery, S., & Rispiningtati, R. (2020). Hydrological Analysis of TRMM (Tropical Rainfall Measuring Mission) Data in Lesti Sub Watershed. *Civil and Environmental Science*, *003*(01), 018–030. https://doi.org/10.21776/ub.civense.2020.00301.3

Maigiska, N., Nurhayati, & Umar. (2018). Analisis Kebutuhan Air Tanaman untuk Kebun Campuran pada Daerah Tangkapan Air Pari Pati di Daerah Rawa Punggur Besar. *Jurnal Teknik*, *5*(3), 1–7.

Mauladi, Gian;Selfana Yuli Kusumaningsih, K. A. P. (2024). Kabupaten Katingan Dalam Angka Katingan Regency in Figures 2024. *Katingan: Badapn Pusat Statidtik Kabupaten Katingan*, *16*, 384.

Miftahuddin, Sampurno, J., & Ihwan, A. (2016). Pendugaan Sebaran Akar Kelapa Sawit Pada Lahan Gambut Dengan Menggunakan Metode Geolistrik Resitivitas. *Jurnal Prisma Fisika*, *IV*(3), 114–120. https://jurnal.untan.ac.id/index.php/jpfu

Noor, M., Masganti, & Agus, F. (2015). Pembentukan dan karakteristik gambut tropisa Indonesia. Dalam F. Agus, M. Anda, A. Jamil, & Masganti (Eds.), Lahan gambut Indonesia: Pembentukan, karakteristik, dan potensi mendukung ketahanan pangan (edisi revisi). Balitbangtan Pers.

Mopangga, S. (2020). Analisis Neraca Air Daerah Aliran Sungai Bolango. *RADIAL : Jurnal Peradaban Sains, Rekayasa dan Teknologi*, *7*(2), 162–171. https://doi.org/10.37971/radial.v7i2.191

Nuramalia, R., & Lasminto, U. (2022). Keandalan Data Curah Hujan Satelit TRMM (Tropical Rainfall Measuring Mission) Terhadap Data Curah Hujan Stasiun Bumi pada Beberapa Sub DAS di DAS Brantas. *Jurnal Aplikasi Teknik Sipil*, *20*(2), 207. https://doi.org/10.12962/j2579-891x.v20i2.12015

Prativi, A. (2018). *Percepatan Proses Dekomposisi Tanah Gambut Berserat dengan Menggunakan Bakteri Dekomposer Aerob Endogen Tanah Gambut*. 1–174. https://repository.its.ac.id/50776/1/3116201001-Master_ Thesis.pdf

Prawaka, F., Zakaria, A., & Tugiono, S. (2016). Analisis Data Curah Hujan yang Hilang Dengan Menggunakan Metode Normal Ratio, Inversed Square Distance, dan Rata-Rata Aljabar (Studi Kasus Curah Hujan Beberapa Stasiun Hujan Daerah Bandar Lampung). *Jurnal Rekayasa Sipil dan Desain* , *4*(3), 2303–2314.

Prijono, S. (2007). *Irigasi Dan Drainase*. 26file:///C:/Users/USER/Downloads/neraca air.pdf. http://sugeng.lecture.ub.ac.id/files/2012/10/MODUL-3.pd

Putra, I. S., & Lasmana, Y. (2019). Analisa Perhitungan Muka Air Rata-Rata Di Lahan Gambut Dengan Tanggul Keliling Dalam Rangka Mengurangi Kebakaran. *Jurnal Teknik Hidraulik*, *10*(1), 43–54.

Rahmanto, E., Rahmabudhi, S., Kustia, T., Kampar, S. K., Unggas, J., Tiga, K. S.,

& Raya, K. B. (2022). Analisis Spasial Penentuan Tipe Iklim Menurut Klasifikasi Schmidt – Ferguson Menggunakan Metode Thiessen – Polygon di Provinsi Riau Spatial Analysis of Climate Type Determination by Schmidt – Ferguson Classification Using the Thiessen – Polygon Method in. *Buletin GAW (BGB)*, *3*(1), 35–42.

Riady, M. I. (2015). BAB II. *Digital Repositori Unila*, 1–20. http://digilib.unila.ac.id/7014/106/BAB II.pdf

Ritung , Markus Anda, Erna Suryani, Sukarman, Muhammad Hikmat, Edi Yatno, Anny Mulyani, Rudi Eko Subandiono, Suratman, Husnain, S. (2021). Revisiting tropical peatlands in Indonesia: Semi-detailed mapping, extent and depth distribution assessment,. *Geoderma*, *402*.

Sabiham, S., & Sukarman. (2012). Pengelolaan Lahan Gambut untuk Pengembangan Kelapa Sawit di Indonesia. Jurnal Sumberdaya Lahan, 6(2), 55-66

Salsabila Dina. (2024). No Kabupaten Pulang Pisau Daam Angka Pulang Pisau Regency in Figures 2024. *Pulang Pisau: BPS Kabupaten Pulang Pisau*, *16*, 383.

Sari, I. K., Limantara, Montarcih, L., & PriyantoroDwi. (2012). Analisa ketersediaan dan kebutuhan air pada das sampean. *Jurnal Jurusan Pengairan*, 1–14.

Sudrajat, A. S. E., & Subekti, S. (2019). Pengelolaan Ekosistem Gambut Sebagai Upaya Mitigasi Perubahan Iklim Di Provinsi Kalimantan Selatan. *Jurnal Planologi*, *16*(2), 219. https://doi.org/10.30659/jpsa.v16i2.4459

Supari, S., Tangang, F., Juneng, L., & Aldrian, E. (2016). Observed changes in extreme temperature and precipitation over Indonesia. *International Journal of Climatology*, *37*. https://doi.org/10.1002/joc.4829

Surahman, B. (2019). Optimasi Saluran Sekunder Bendungan Sampen Baru Kabupaten Bondowoso Menggunakan Program Dinamik. *Digital Repositori Universitas Jember*, 1–92.

Taruna, Y., Salampak, S., Yulianti, N., Yupi, H. M., Sustiyah, S., & Indrajaya, F. (2021). Pengaruh Penyiraman Air Tanah Terhadap Perubahan Sifat Kimia Tanah dan Air Gambut di Kalimantan Tengah. *Soilrens*, *19*(1), 58. https://doi.org/10.24198/soilrens.v19i1.35092

Tiara, A., Jakaria, & Syafri. (2023). Analisis Determinan Ekspor Dan Daya Saing Produk Minyak Kelapa Sawit Indonesia Di Pasar Internasional. *Jurnal Ekonomi Trisakti*, *3*(1), 999–1014. https://doi.org/10.25105/jet.v3i1.15583

Tukidi. (2010). Karakter Curah Hujan Di Indonesia. *Jurnal Geografi*, *7*(2), 136–

145. http://journal.unnes.ac.id/nju/index.php/JG/article/view/84

US Army Corps of Engineers. (1998). HEC-HMS Technical Reference Manual Introduction. *Computer Manual*, 1–288.

Utami, R. W., Kartini, K., & Akbar, A. A. (2021). Pengaruh Keragaman Penggunaan Lahan di Ekosistem Gambut sub DAS Kapuas Kabupaten Kubu Raya. *Jurnal Ilmu Lingkungan*, *19*(2), 409–421. https://doi.org/10.14710/jil.19.2.409-421

Wawan, W., Amri, A. I., & Akbar, A. N. (2019). Sifat Fisika Tanah dan Produktivitas Kelapa Sawit (Elaeis Guineensis Jacq.) Di Lahan Gambut Pada Tinggi Muka Air Tanah Yang Berbeda. *Jurnal Agroteknologi*, *10*(1), 15. https://doi.org/10.24014/ja.v10i1.5767

Winarna, W., Pradiko, I., Syarovy, M., & Hidayat, F. (2016). Perbaikan Sifat-Sifat dan Pencegahan Hidrofobisitas Tanah Baja Gambut di Perkebunan Kelapa Sawit Melalui Aplikasi Terak. *Jurnal Penelitian Kelapa Sawit*, *24*(1), 39–46.

LAMPIRAN

A. Menu Climate untuk menentukan laju Evapotranspirasi potensial

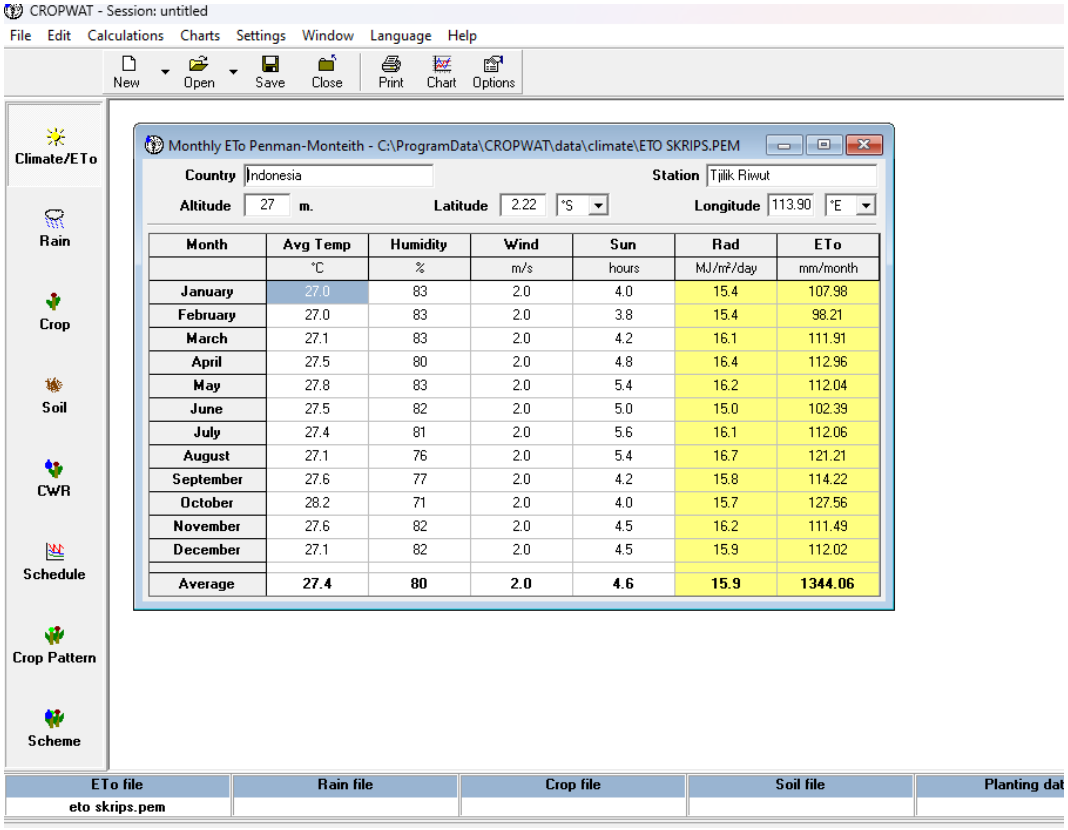

Month	Avg Temp	Humidity	Wind	Sun	Rad	ETo
	°C	%	m/s	hours	MJ/m²/day	mm/month
January	27.0	83	2.0	4.0	15.4	107.98
February	27.0	83	2.0	3.8	15.4	98.21
March	27.1	83	2.0	4.2	16.1	111.91
April	27.5	80	2.0	4.8	16.4	112.96
May	27.8	83	2.0	5.4	16.2	112.04
June	27.5	82	2.0	5.0	15.0	102.39
July	27.4	81	2.0	5.6	16.1	112.06
August	27.1	76	2.0	5.4	16.7	121.21
September	27.6	77	2.0	4.2	15.8	114.22
October	28.2	71	2.0	4.0	15.7	127.56
November	27.6	82	2.0	4.5	16.2	111.49
December	27.1	82	2.0	4.5	15.9	112.02
Average	27.4	80	2.0	4.6	15.9	1344.06

B. Menu Rain untuk menentukan curah hujan efektif

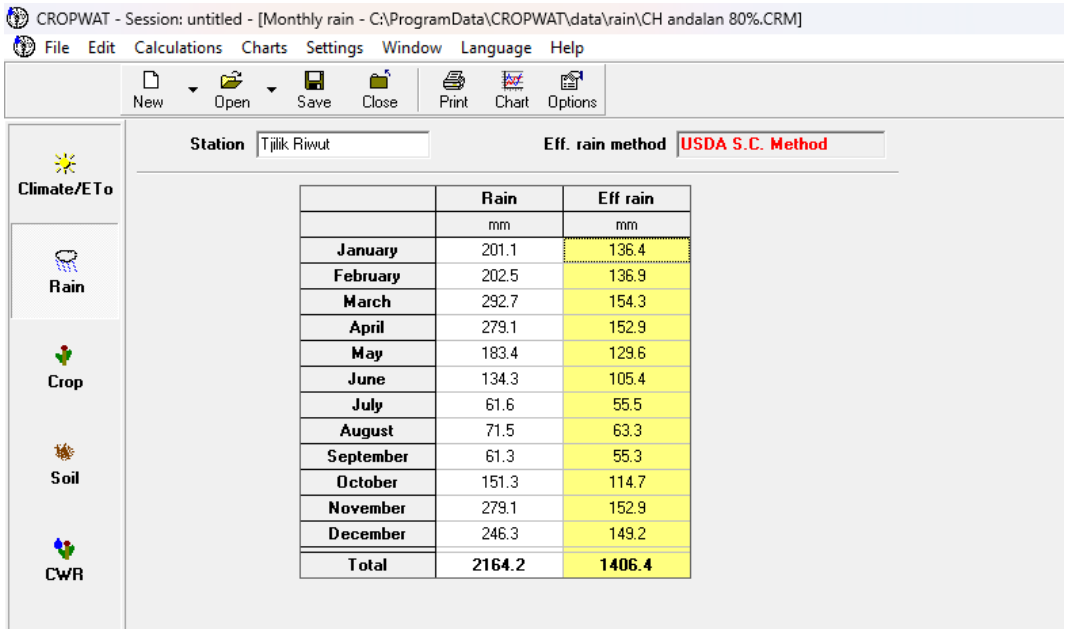

	Rain	Eff rain
	mm	mm
January	201.1	136.4
February	202.5	136.9
March	292.7	154.3
April	279.1	152.9
May	183.4	129.6
June	134.3	105.4
July	61.6	55.5
August	71.5	63.3
September	61.3	55.3
October	151.3	114.7
November	279.1	152.9
December	246.3	149.2
Total	2164.2	1406.4

C. Menu Crop untuk menginput data tanaman.

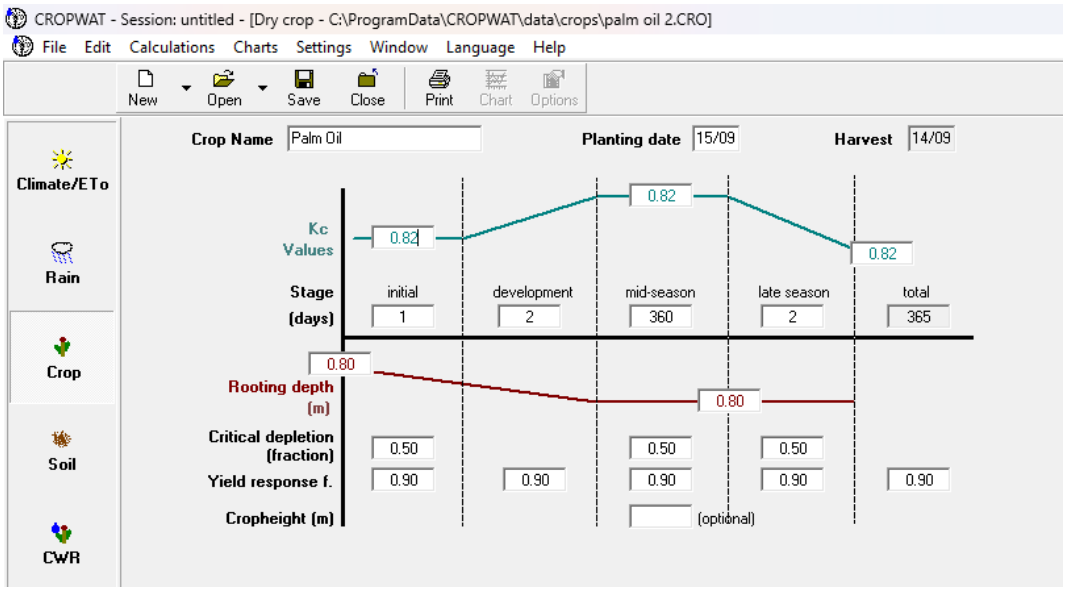

D. Menu soil untuk menginput data tanah.

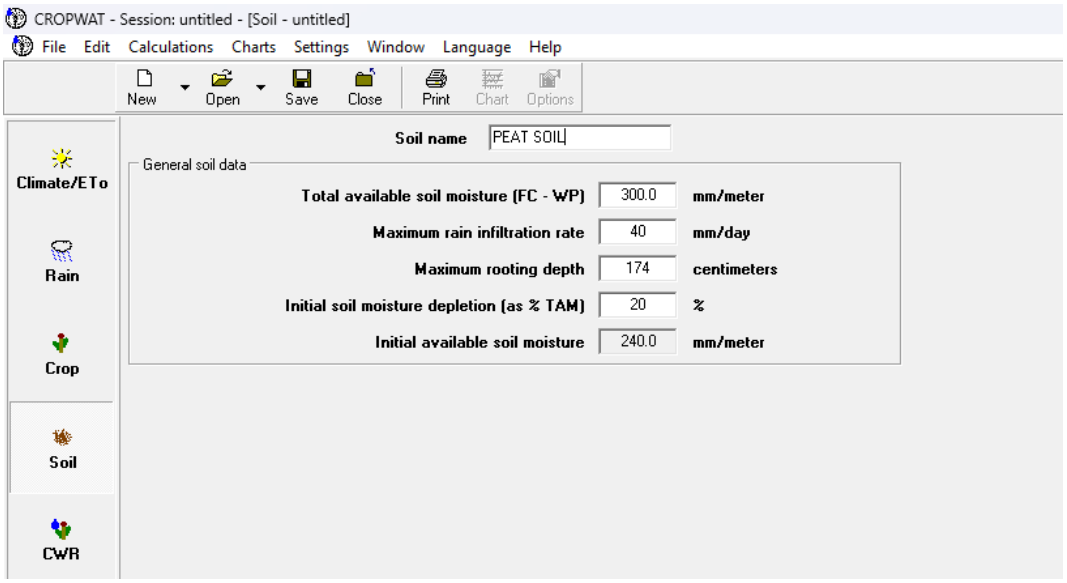

D. Hasil Perhitungan Cropwat

Month	Decade	Stage	Kc	ETc	ETc	Eff rain	Irr. Req.
			coeff	mm/day	mm/dec	mm/dec	mm/dec
Jan	1	Mid	0.82	2.89	28.9	44.3	0
Jan	2	Mid	0.82	2.86	28.6	42.3	0
Jan	3	Mid	0.82	2.86	31.5	43.4	0
Feb	1	Mid	0.82	2.87	28.7	44.4	0
Feb	2	Mid	0.82	2.88	28.8	45	0
Feb	3	Mid	0.82	2.9	23.2	47.1	0
Mar	1	Mid	0.82	2.93	29.3	50.2	0
Mar	2	Mid	0.82	2.96	29.6	52.5	0
Mar	3	Mid	0.82	3	33	51	0
Apr	1	Mid	0.82	3.05	30.5	49.2	0
Apr	2	Mid	0.82	3.09	30.9	48.2	0
Apr	3	Mid	0.82	3.05	30.5	46.4	0
May	1	Mid	0.82	3	30	44.8	0
May	2	Mid	0.82	2.96	29.6	43.2	0
May	3	Mid	0.82	2.91	32	40.4	0
Jun	1	Mid	0.82	2.85	28.5	38.3	0
Jun	2	Mid	0.82	2.8	28	36	0
Jun	3	Mid	0.82	2.85	28.5	29.8	0
Jul	1	Mid	0.82	2.91	29.1	21.3	7.7
Jul	2	Mid	0.82	2.96	29.6	14.6	15
Jul	3	Mid	0.82	3.04	33.5	16.7	16.8
Aug	1	Mid	0.82	3.13	31.3	21.1	10.1
Aug	2	Mid	0.82	3.21	32.1	23	9.1
Aug	3	Mid	0.82	3.18	35	18.6	16.3
Sep	1	Mid	0.82	3.15	31.5	11.6	19.9
Sep	2	Mid	0.82	3.12	31.2	6.9	24.3
Sep	3	Mid	0.82	3.21	32.1	11.8	20.3
Oct	1	Mid	0.82	3.29	32.9	16.2	16.7
Oct	2	Mid	0.82	3.37	33.7	19.3	14.4
Oct	3	Mid	0.82	3.27	35.9	29.2	6.7
Nov	1	Mid	0.82	3.16	31.6	42.6	0
Nov	2	Mid	0.82	3.05	30.5	53.1	0
Nov	3	Mid	0.82	3.02	30.2	51.4	0
Dec	1	Mid	0.82	2.99	29.9	48.8	0
Dec	2	Mid	0.82	2.96	29.6	48.7	0
Dec	3	Late	0.82	2.93	32.2	46.9	0

Month	Decade	Stage	Kc	ETc	ETc	Eff rain	Irr. Req.
			coeff	mm/day	mm/dec	mm/dec	mm/dec
Jan	1	Mid	0.83	2.93	29.3	44.3	0
Jan	2	Mid	0.83	2.89	28.9	42.3	0
Jan	3	Mid	0.83	2.9	31.9	43.4	0
Feb	1	Mid	0.83	2.9	29	44.4	0
Feb	2	Mid	0.83	2.91	29.1	45	0
Feb	3	Mid	0.83	2.94	23.5	47.1	0
Mar	1	Mid	0.83	2.97	29.7	50.2	0
Mar	2	Mid	0.83	3	30	52.5	0
Mar	3	Mid	0.83	3.04	33.4	51	0
Apr	1	Mid	0.83	3.08	30.8	49.2	0
Apr	2	Mid	0.83	3.13	31.3	48.2	0
Apr	3	Mid	0.83	3.08	30.8	46.4	0
May	1	Mid	0.83	3.04	30.4	44.8	0
May	2	Mid	0.83	3	30	43.2	0
May	3	Mid	0.83	2.94	32.4	40.4	0
Jun	1	Mid	0.83	2.89	28.9	38.3	0
Jun	2	Mid	0.83	2.83	28.3	36	0
Jun	3	Mid	0.83	2.89	28.9	29.8	0
Jul	1	Mid	0.83	2.94	29.4	21.3	8.1
Jul	2	Mid	0.83	3	30	14.6	15.4
Jul	3	Mid	0.83	3.08	33.9	16.7	17.2
Aug	1	Mid	0.83	3.16	31.6	21.1	10.5
Aug	2	Mid	0.83	3.25	32.5	23	9.5
Aug	3	Mid	0.83	3.22	35.4	18.6	16.7
Sep	1	Mid	0.83	3.19	31.9	11.6	20.3
Sep	2	Mid	0.83	3.16	31.6	6.9	24.7
Sep	3	Mid	0.83	3.25	32.5	11.8	20.7
Oct	1	Mid	0.83	3.33	33.3	16.2	17.1
Oct	2	Mid	0.83	3.42	34.2	19.3	14.9
Oct	3	Mid	0.83	3.31	36.4	29.2	7.1
Nov	1	Mid	0.83	3.19	31.9	42.6	0
Nov	2	Mid	0.83	3.08	30.8	53.1	0
Nov	3	Mid	0.83	3.06	30.6	51.4	0
Dec	1	Mid	0.83	3.03	30.3	48.8	0
Dec	2	Mid	0.83	3	30	48.7	0
Dec	3	Late	0.83	2.96	32.6	46.9	0

Month	Decade	Stage	Kc	Etc	ETc	Eff rain	Irr. Req.
			coeff	mm/day	mm/dec	mm/dec	mm/dec
Jan	1	Mid	0.86	3.03	30.3	44.3	0
Jan	2	Mid	0.86	3	30	42.3	0
Jan	3	Mid	0.86	3	33	43.4	0
Feb	1	Mid	0.86	3.01	30.1	44.4	0
Feb	2	Mid	0.86	3.02	30.2	45	0
Feb	3	Mid	0.86	3.05	24.4	47.1	0
Mar	1	Mid	0.86	3.08	30.8	50.2	0
Mar	2	Mid	0.86	3.1	31	52.5	0
Mar	3	Mid	0.86	3.15	34.6	51	0
Apr	1	Mid	0.86	3.19	31.9	49.2	0
Apr	2	Mid	0.86	3.24	32.4	48.2	0
Apr	3	Mid	0.86	3.19	31.9	46.4	0
May	1	Mid	0.86	3.15	31.5	44.8	0
May	2	Mid	0.86	3.11	31.1	43.2	0
May	3	Mid	0.86	3.05	33.6	40.4	0
Jun	1	Mid	0.86	2.99	29.9	38.3	0
Jun	2	Mid	0.86	2.94	29.4	36	0
Jun	3	Mid	0.86	2.99	29.9	29.8	0.1
Jul	1	Mid	0.86	3.05	30.5	21.3	9.2
Jul	2	Mid	0.86	3.11	31.1	14.6	16.4
Jul	3	Mid	0.86	3.19	35.1	16.7	18.4
Aug	1	Mid	0.86	3.28	32.8	21.1	11.6
Aug	2	Mid	0.86	3.36	33.6	23	10.7
Aug	3	Mid	0.86	3.33	36.7	18.6	18
Sep	1	Mid	0.86	3.3	33	11.6	21.5
Sep	2	Mid	0.86	3.27	32.7	6.9	25.9
Sep	3	Mid	0.86	3.36	33.6	11.8	21.9
Oct	1	Mid	0.86	3.45	34.5	16.2	18.3
Oct	2	Mid	0.86	3.54	35.4	19.3	16.1
Oct	3	Mid	0.86	3.42	37.7	29.2	8.5
Nov	1	Mid	0.86	3.31	33.1	42.6	0
Nov	2	Mid	0.86	3.2	32	53.1	0
Nov	3	Mid	0.86	3.17	31.7	51.4	0
Dec	1	Mid	0.86	3.14	31.4	48.8	0
Dec	2	Mid	0.86	3.11	31.1	48.7	0
Dec	3	Late	0.86	3.07	33.8	46.9	0

Month	Decade	Stage	Kc	ETc	ETc	Eff rain	Irr. Req.
			coeff	mm/day	mm/dec	mm/dec	mm/dec
Jan	1	Mid	0.92	3.24	32.4	44.3	0
Jan	2	Mid	0.92	3.2	32	42.3	0
Jan	3	Mid	0.92	3.21	35.3	43.4	0
Feb	1	Mid	0.92	3.22	32.2	44.4	0
Feb	2	Mid	0.92	3.23	32.3	45	0
Feb	3	Mid	0.92	3.26	26.1	47.1	0
Mar	1	Mid	0.92	3.29	32.9	50.2	0
Mar	2	Mid	0.92	3.32	33.2	52.5	0
Mar	3	Mid	0.92	3.37	37.1	51	0
Apr	1	Mid	0.92	3.42	34.2	49.2	0
Apr	2	Mid	0.92	3.46	34.6	48.2	0
Apr	3	Mid	0.92	3.42	34.2	46.4	0
May	1	Mid	0.92	3.37	33.7	44.8	0
May	2	Mid	0.92	3.32	33.2	43.2	0
May	3	Mid	0.92	3.26	35.9	40.4	0
Jun	1	Mid	0.92	3.2	32	38.3	0
Jun	2	Mid	0.92	3.14	31.4	36	0
Jun	3	Mid	0.92	3.2	32	29.8	2.2
Jul	1	Mid	0.92	3.26	32.6	21.3	11.3
Jul	2	Mid	0.92	3.33	33.3	14.6	18.6
Jul	3	Mid	0.92	3.42	37.6	16.7	20.8
Aug	1	Mid	0.92	3.51	35.1	21.1	13.9
Aug	2	Mid	0.92	3.6	36	23	13
Aug	3	Mid	0.92	3.57	39.2	18.6	20.6
Sep	1	Mid	0.92	3.53	35.3	11.6	23.8
Sep	2	Mid	0.92	3.5	35	6.9	28.1
Sep	3	Mid	0.92	3.6	36	11.8	24.2
Oct	1	Mid	0.92	3.69	36.9	16.2	20.7
Oct	2	Mid	0.92	3.79	37.9	19.3	18.6
Oct	3	Mid	0.92	3.66	40.3	29.2	11.1
Nov	1	Mid	0.92	3.54	35.4	42.6	0
Nov	2	Mid	0.92	3.42	34.2	53.1	0
Nov	3	Mid	0.92	3.39	33.9	51.4	0
Dec	1	Mid	0.92	3.36	33.6	48.8	0
Dec	2	Mid	0.92	3.32	33.2	48.7	0
Dec	3	Late	0.92	3.28	36.1	46.9	0

Month	Decade	Stage	Kc	ETc	ETc	Eff rain	Irr. Req.
			coeff	mm/day	mm/dec	mm/dec	mm/dec
Jan	1	Mid	0.93	3.28	32.8	44.3	0
Jan	2	Mid	0.93	3.24	32.4	42.3	0
Jan	3	Mid	0.93	3.25	35.7	43.4	0
Feb	1	Mid	0.93	3.25	32.5	44.4	0
Feb	2	Mid	0.93	3.26	32.6	45	0
Feb	3	Mid	0.93	3.29	26.3	47.1	0
Mar	1	Mid	0.93	3.33	33.3	50.2	0
Mar	2	Mid	0.93	3.36	33.6	52.5	0
Mar	3	Mid	0.93	3.41	37.5	51	0
Apr	1	Mid	0.93	3.45	34.5	49.2	0
Apr	2	Mid	0.93	3.5	35	48.2	0
Apr	3	Mid	0.93	3.45	34.5	46.4	0
May	1	Mid	0.93	3.41	34.1	44.8	0
May	2	Mid	0.93	3.36	33.6	43.2	0
May	3	Mid	0.93	3.3	36.3	40.4	0
Jun	1	Mid	0.93	3.24	32.4	38.3	0
Jun	2	Mid	0.93	3.17	31.7	36	0
Jun	3	Mid	0.93	3.24	32.4	29.8	2.5
Jul	1	Mid	0.93	3.3	33	21.3	11.7
Jul	2	Mid	0.93	3.36	33.6	14.6	19
Jul	3	Mid	0.93	3.45	38	16.7	21.2
Aug	1	Mid	0.93	3.54	35.4	21.1	14.3
Aug	2	Mid	0.93	3.64	36.4	23	13.4
Aug	3	Mid	0.93	3.6	39.6	18.6	21
Sep	1	Mid	0.93	3.57	35.7	11.6	24.2
Sep	2	Mid	0.93	3.54	35.4	6.9	28.5
Sep	3	Mid	0.93	3.64	36.4	11.8	24.6
Oct	1	Mid	0.93	3.73	37.3	16.2	21.1
Oct	2	Mid	0.93	3.83	38.3	19.3	19
Oct	3	Mid	0.93	3.7	40.7	29.2	11.5
Nov	1	Mid	0.93	3.58	35.8	42.6	0
Nov	2	Mid	0.93	3.46	34.6	53.1	0
Nov	3	Mid	0.93	3.42	34.2	51.4	0
Dec	1	Mid	0.93	3.39	33.9	48.8	0
Dec	2	Mid	0.93	3.36	33.6	48.7	0
Dec	3	Late	0.93	3.32	36.5	46.9	0